

## ЛИТЕРАТУРА

1. Larsen L. H. Internal waves incident upon a knife edge barrier // Deep-Sea Res.—1969.—V. 16, N 5.
2. Robinson R. M. The effect of a vertical barrier on internal waves // Deep-Sea Res.—1969.—V. 16, N 5.
3. Коробкин А. А., Струрова И. В. Генерация поверхностных и внутренних волн в жидкости переменной глубины // Методы гидрофизических исследований: Матер. III Всесоюз. шк.-семин., Светлогорск, май 1989 г.—Горький: Ин-т прикл. физики АН СССР, 1990.
4. Букарев В. И., Гаврилов Н. В. Экспериментальное изучение возмущений впереди крыла, движущегося в стратифицированной жидкости // ПМТФ.—1990.—№ 2.
5. Кочин Н. Е., Кибель И. А., Розе Н. В. Теоретическая гидромеханика.—М.: Физматиз, 1963.—T. 1.
6. Букарев В. И., Гусев А. В., Струрова И. В. Неустановившееся движение кругового цилиндра в двухслойной жидкости // ПМТФ.—1983.—№ 6.
7. Lee J. J., Ayer R. M. Wave propagation over rectangular trench // J. Fluid Mech.—1981.—V. 110.

г. Новосибирск

Поступила 25/XII 1989 г.,  
в окончательном варианте — 2/IV 1990 г.

УДК 532.529

T. P. Аманбаев, A. И. Ивандаев

## РАСПРОСТРАНЕНИЕ ВОЛН В ТРЕХФАЗНЫХ СМЕСЯХ ГАЗА С ЧАСТИЦАМИ И КАПЛЯМИ

Исследуются особенности распространения слабых возмущений и структура ударных волн (УВ) в смесях газа с крупными каплями жидкости и мелкими твердыми частицами при наличии осаждения частиц на каплях. Получены зависимости волнового числа от частоты возмущений. Проанализировано влияние определяющих параметров на коэффициент затухания и фазовую скорость звука, а также на течение в релаксационной зоне УВ.

Некоторые теоретические и экспериментальные исследования распространения волн в двухфазных средах имеются в [1—11]. Структура УВ в смесях газа с твердыми частицами изучалась в [1]. В [2] исследовано влияние фазовых превращений (испарения, конденсации) на течение в релаксационной зоне волн уплотнения в газовзвеси капель жидкости. При наличии дробления капель структура УВ изучалась в [3]. В [4] рассмотрено течение в зоне релаксации сильных УВ с учетом эффекта плавления частиц. Подробный обзор исследований распространения УВ в газовзвесях имеется в [5].

В [6] изучены особенности распространения слабых возмущений в смесях газа с твердыми инертными частицами, а в [7, 8] — в смесях газа и пара с каплями жидкости при наличии фазовых превращений. Влияние нестационарных составляющих межфазового взаимодействия на высокочастотные возмущения рассмотрено в [9].

**1. Основные допущения и уравнения состояния фаз.** Примем обычные допущения механики многофазных сред [12]. Дополнительно будем полагать, что капли несжимаемы, одного размера, не сталкиваются и не дробятся, эффекты вязкости и теплопроводности существенны лишь в процессах взаимодействия газовой фазы с твердой и жидкой фазами, имеет место взаимодействие крупных капель с мелкими частицами, при этом частицы сталкиваются с каплями и захватываются ими.

Размеры твердых частиц настолько малы, что их смесь с газом можно рассматривать как односкоростную и однотемпературную сплошную среду со своими особыми теплофизическими свойствами. Такую среду далее будем называть эффективным газом.

В рамках принятых допущений запись уравнений движения рассматриваемой газовзвеси не составляет особой трудности (их можно получить, например, из уравнений в [3, 12]). Здесь приведем лишь уравнения состояния и законы взаимодействия фаз, которые показывают некоторые особенности течения газовзвеси при наличии осаждения частиц на каплях. Газ будем считать калорически совершенным, твердую и жидкую фазы — несжимаемыми средами с постоянными теплоемкостями. Тогда

уравнения состояния эффективного газа и крупных капель можно записать в форме

$$\begin{aligned} p - \rho_1^0 R_1 T_1, e_1 = c_1 T_1, e_{1p} = c_p T_1, e_2 = c_2 T_2, R_1 = x_{1g} R_g, c_1 = c_{gv} x_{1g} + \\ + c_p x_{1p}, c_2 = c_l x_{2l} + c_p x_{2p}, x_{1g} + x_{1p} = 1, x_{2l} + x_{2p} = 1; \rho_p^0, \rho_l^0, R_g, \\ c_{gv}, c_p, c_l = \text{const}, x_{1g} = \rho_{1g}/\rho_1, x_{1p} = \rho_{1p}/\rho_1, x_{2l} = \rho_{2l}/\rho_2, x_{2p} = \rho_{2p}/\rho_2, \\ \rho_1 = \rho_{1g} + \rho_{1p}, \rho_2 = \rho_{2l} + \rho_{2p}, \alpha_1 + \alpha_2 = 1, \alpha_1 = \alpha_1 \rho_1^0, \alpha_1 = \alpha_{1g} + \\ + \alpha_{1p}, \alpha_2 = \alpha_{2l} + \alpha_{2p}, \alpha_{2l} = \rho_{2l}/\rho_l^0, \alpha_{2p} = \rho_{2p}/\rho_p^0, \alpha_{1p} = \rho_{1p}/\rho_p^0. \end{aligned}$$

Здесь  $p$ ,  $e_1$ ,  $e_2$ ,  $T_1$ ,  $T_2$  — давление в газе, внутренние энергии и температуры эффективного газа и крупных капель;  $e_{1p}$  — внутренняя энергия мелких частиц;  $\rho_1$ ,  $\rho_2$ ,  $\rho_{1g}$ ,  $\rho_{1p}$ ,  $\rho_{2l}$ ,  $\rho_{2p}$  — приведенные плотности эффективного газа, крупных капель и их составляющих;  $\rho_1^0$ ,  $\rho_p^0$ ,  $\rho_l^0$  — истинные плотности эффективного газа, мелких частиц и жидкой составляющей крупных капель;  $\alpha_{1g}$ ,  $\alpha_{1p}$ ,  $\alpha_{2l}$ ,  $\alpha_{2p}$  — объемные содержания составляющих смеси;  $R_g$ ,  $c_{gv}$ ,  $c_p$ ,  $c_l$  — газовая постоянная, теплоемкости газа (при постоянном объеме), мелких частиц и жидкой составляющей крупных капель.

**2. Законы взаимодействия фаз.** Для определения интенсивности захвата мелких частиц крупными каплями используем элементарную схему подсчета столкновений между частицами и каплями. Рассмотрим одиночную каплю диаметра  $d$ , движущуюся со скоростью  $\mathbf{v}_2$  в равновесной смеси газа с мелкими частицами, имеющими скорость  $\mathbf{v}_1$ . За единицу времени с этой каплей будут сталкиваться все частицы, находящиеся в данный момент времени в объеме  $\pi d^2/4$ . Однако при подходе к капле некоторые частицы под действием газового потока могут изменить свои траектории и не столкнуться с каплей, а некоторые при столкновении с каплей могут зеркально отражаться от ее поверхности. Учитывая эти обстоятельства, выражение для интенсивности захвата мелких частиц каплей запишем в виде

$$(2.1) \quad j = \eta \chi (\pi d^2/4) \rho_{1p} |\mathbf{v}_1 - \mathbf{v}_2|, \quad \eta = \eta(d_p, \rho_p^0, \mu_g, d, \dots).$$

Здесь  $\eta$  — поправочный коэффициент, характеризующий эффективность столкновения частиц с каплей и зависящий от условий обтекания крупной капли смесью газа с мелкими частицами (обычно коэффициент  $\eta$  выражают как функцию  $\sqrt{\text{Stk}}$  или  $\sqrt{\Phi} = \sqrt{L_{pv}/d}$  [13], где  $\text{Stk} = 2L_{pv}/d$  — число Стокса, а  $L_{pv}$  — характерная длина изменения скорости частиц при подходе к капле);  $d_p$  — диаметр мелких частиц;  $\mu_g$  — коэффициент динамической вязкости газа;  $\chi$  — коэффициент осаждения, показывающий долю захваченных каплей частиц, столкнувшихся с ней (остальная доля частиц 1 —  $\chi$  зеркально отражается от поверхности капли).

Силу взаимодействия капли с несущей средой зададим следующим образом:

$$(2.2) \quad f = (\pi d^2/8) \rho_{1g}^0 C_d |\mathbf{v}_1 - \mathbf{v}_2| (\mathbf{v}_1 - \mathbf{v}_2)$$

( $C_d$  — коэффициент сопротивления капли). В широком диапазоне изменения определяющих параметров для  $C_d$  можно использовать формулу [4, 14]

$$(2.3) \quad C_d = \begin{cases} 27 \text{Re}_{12}^{-0.84}, & \text{Re}_{12} < 80, \\ 0.27 \text{Re}_{12}^{0.217}, & 80 \leqslant \text{Re}_{12} < 10^4, \\ 2, & 10^4 \leqslant \text{Re}_{12}, \quad \text{Re}_{12} = \rho_{1g}^0 d |\mathbf{v}_1 - \mathbf{v}_2| / \mu_g \end{cases}$$

( $\text{Re}_{12}$  — число Рейнольдса относительного обтекания капли).

Интенсивность притока тепла к капле со стороны несущей фазы можно задавать в виде [2, 5]

$$(2.4) \quad q = \pi d \lambda_g \text{Nu}_1 (T_1 - T_2), \quad \text{Nu}_1 = 2 + 0.6 \text{Re}_{12}^{0.5} \text{Pr}_1^{0.3}, \quad \text{Pr}_1 = \frac{c_{gp} \mu_g}{\lambda_g}.$$

Здесь  $Nu_1$ ,  $Pr_1$  — число Нуссельта и Прандтля;  $c_{gp}$ ,  $\lambda_g$  — удельная теплоемкость газа при постоянном давлении и коэффициент его теплопроводности. При малых числах Рейнольдса ( $Re_{12} \ll 1$ ) для  $C_d$  и  $Nu_1$  можно принять более простые соотношения [5, 12]:  $C_d \cong 24/Re_{12}$ ,  $Nu_1 \cong 2$ .

Следует отметить, что инерционный эффект при столкновениях частиц с каплями существен в том случае, если  $Stk = 2L_{pv}/d$  принимает достаточно большие значения ( $Stk \gg 1$ ). При малых числах Стокса ( $Stk \ll \ll 1$ ) осаждение мелких частиц происходит в основном за счет их диффузии к поверхности капель. Вклад инерционного эффекта в процесс захвата частиц каплями в этом случае достаточно мал ( $\eta \cong 0$ ) [13], так как мелкие частицы при подходе к капле успевают изменить свои траектории движения и, следуя линиям тока газа, обтекают ее. Учитывая эти обстоятельства, а также то, что некоторые частицы при столкновении с каплей могут отражаться от ее поверхности, выражение для интенсивности осаждения мелких частиц на одной капле в диффузионном режиме запишем в виде  $j = -\beta \kappa d^2 m_p (n_{p\Sigma} - n_p)$ . Здесь  $n_{p\Sigma}$ ,  $n_p$  — концентрации мелких частиц соответственно на поверхности капли и вдали от нее;  $m_p$  — масса одной мелкой частицы;  $\beta$  — диффузионная скорость, зависящая от свойств мелких частиц, капель и несущей среды и определяемая экспериментально или из каких-либо других соображений; коэффициент  $\kappa$ , как и в выражении (2.1), показывает долю осевших среди столкнувшихся с каплей частиц. Далее будем полагать, что  $\kappa = 1$  и  $n_{p\Sigma} = 0$  (т. е. все частицы, попадающие на поверхность капли, полностью оседают на ней).

Отметим, что диффузионную скорость  $\beta$  можно представить как отношение коэффициента диффузии частиц к характерной толщине диффузионного (концентрационного) слоя у поверхности капли [15]. К настоящему времени надежные экспериментальные и теоретические данные по определению диффузионной скорости частиц у поверхности капли отсутствуют.

**3. Дисперсионные соотношения.** Рассмотрим распространение плоских периодических волн в газовзвеси мелких частиц и крупных капель жидкости (газопылекапельной смеси). При этом будем считать, что в невозмущенном состоянии газопылекапельная смесь находится в термодинамическом равновесии ( $v_{10} = v_{20}$ ,  $T_{10} = T_{20}$ ), а осаждения мелких частиц на каплях нет.

Для изучения распространения слабых возмущений в такой среде (когда  $Re_{12} \ll 1$ ,  $Stk \ll 1$ ) линеаризуем уравнения движения и будем искать решение полученной линейной системы в виде затухающей бегущей волны  $\exp[i(kx - \omega t)]$ . Условие существования нетривиального решения такого типа приводит к следующей связи между волновым вектором  $k$  и безразмерной частотой возмущения  $\sigma = \omega \tau_T / a_g$ :

$$(3.1) \quad k^2 = \sigma^2 \frac{\alpha_{1g0}\gamma_g (s - i\sigma\tau_m/\tau_T) (\Pi_1 - \bar{\alpha}_{10}i\sigma\tau_v/\tau_T) (C_V - i\sigma C_{1V})}{r_g \tau_T^2 (\Pi_2 + \Pi_3) + \Pi_4/\gamma_g},$$

$$\Pi_1 = \bar{\alpha}_{10} + \alpha_{20}, \quad \Pi_2 = \alpha_{20}(1 - \bar{\alpha}_{10}i\sigma\tau_v/\tau_T)[s + (1 - 1/r_p) - i\sigma\tau_m/\tau_T],$$

$$\Pi_3 = (1 - \alpha_{10}i\sigma\tau_v/\tau_T)[s(\alpha_{1g0} + r_p\alpha_{1p0}) - \alpha_{10}i\sigma\tau_m/\tau_T],$$

$$\Pi_4 = (1 - i\sigma)(s - i\sigma\tau_m/\tau_T)[1 - (\alpha_{10}^2 + \bar{\alpha}_{10}\alpha_{20})i\sigma\tau_v/\tau_T],$$

$$C_V = C_{gV} + m_{1p}C_p + m_2C_l, \quad C_{1V} = C_{gV} + m_{1p}C_p,$$

$$m_{1p} = \rho_{1p0}/\rho_{1g0}, \quad m_2 = \rho_{20}/\rho_{1g0}, \quad s = \alpha_{20}/r_p\alpha_{1p0},$$

$$\tau_m = a_g t_m, \quad \tau_v = a_g t_v, \quad \tau_T = a_g t_T,$$

$$i_m = \frac{0,17d}{\beta r_p \alpha_{1p0}}, \quad t_v = \frac{\rho_l^0 d^2}{18\mu_g}, \quad t_T = \frac{\rho_l^0 d^2 c_l}{12\lambda_g},$$

$$r_g = \rho_{1g0}/\rho_l^0, \quad r_p = \rho_p^0/\rho_l^0, \quad \bar{\alpha}_{10} = r_g \alpha_{1g0} + r_p \alpha_{1p0},$$

$$C_{gV} = c_{gV}/\gamma_g R_g, \quad C_p = c_p/\gamma_g R_g, \quad C_l = c_l/\gamma_g R_g.$$

Здесь  $t_m$ ,  $t_v$  и  $t_T$  — характерные времена соответственно изменения массы одиночной капли за счет осаждения на ней мелких частиц, а также ре-

лаксации ее скорости и температуры в стоксовом режиме обтекания;  $\tau_m$ ,  $\tau_v$ ,  $\tau_T$  — приведенные времена релаксации, имеющие размерность длины;  $m_{1p}$ ,  $m_2$  — относительные массовые содержания мелких частиц и крупных капель;  $\gamma_g$  и  $a_g$  — показатель адиабаты газа и скорость звука в нем.

Из (3.1) предельным переходом могут быть получены соотношения для равновесной  $a^e(\sigma \rightarrow 0)$  и замороженной  $a^f(\sigma \rightarrow \infty)$  скоростей звука в газопылевакапельной среде при наличии осаждения пыли (мелких частиц) на крупных каплях:

$$(3.2) \quad \begin{aligned} a^e &= a_g \left[ \frac{\Gamma - 2\alpha_{1p0}(1 - r_p)}{\gamma_g \alpha_{1g0}(1 + m_{1p} + m_2)} \right]^{1/2}, \\ a^f &= a_g \left[ \frac{r_g^2}{\gamma_g} \frac{m_*}{1 + m_{1p}} \Gamma_1 \right]^{1/2}, \\ \Gamma &= \frac{C_{gp} + m_{1p}C_p + m_2C_l}{C_{gv} + m_{1p}C_p + m_2C_l}, \quad \Gamma_1 = \frac{C_{gp} + m_{1p}C_p}{C_{gv} + m_{1p}C_p}, \\ m_* &= (1/r_g + m_{1p}/r_p)^2 + m_2(1 + m_{1p}). \end{aligned}$$

При отсутствии процесса осаждения мелких частиц на каплях ( $j = 0$ ) дисперсионное соотношение имеет форму

$$k^2 = \sigma^2 \frac{\alpha_{1g0}}{r_g \tau_T^2} \frac{(\Pi_1 - \bar{\alpha}_{10} i \sigma \tau_v / \tau_T)(\gamma_g C_p / C_{1P*} - i \sigma)(C_{1P*} / C_{1P})}{[1 - (\alpha_{10}^2 + \bar{\alpha}_{10} \alpha_{20}) i \sigma \tau_v / \tau_T](\Gamma C_p / C_{1P} - i \sigma)},$$

$$C_p = C_{gp} + m_{1p}C_p + m_2C_l, \quad C_{1P} = C_{gp} + m_{1p}C_p, \quad C_{1P*} = \gamma_g C_{1V}.$$

В этом случае выражения для равновесной и замороженной скоростей звука следующие:

$$(3.3) \quad a_0^e = a_g \left[ \frac{\Gamma}{\gamma_g \alpha_{1g0}^2 (1 + m_{1p} + m_2)} \right]^{1/2}, \quad a_0^f = a^f.$$

Сравнивая выражения (3.2) и (3.3), можно заметить, что при  $\alpha_{1p0} \ll 1$  наличие осаждения частиц на каплях оказывает незначительное влияние на равновесную скорость звука  $a^e$ , причем оно может привести как к увеличению (при  $r_p > 1$ ) равновесной скорости, так и к ее уменьшению ( $r_p < 1$ ). На замороженную скорость звука  $a^f$  наличие осаждения частиц на каплях никак не влияет. Интересно то, что при  $r_p = \rho_p^0 / \rho_l^0 = 1$  процесс осаждения частиц на каплях не оказывает никакого влияния на зависимость волнового вектора от частоты внешнего возмущения.

**4. Постановка задачи и условия подобия структур УВ.** Пусть в бесконечном пространстве, заполненном смесью газа с мелкими частицами и крупными каплями, распространяется со скоростью  $v_{10}$  плоская УВ, а  $v_{10} > a^e, a^f$ . Тогда УВ будет иметь впереди себя скачок в эффективном газе, на котором параметры эффективного газа удовлетворяют соотношениям Ренкина — Гюгонио, а параметры крупных капель практически не меняются. Неравновесности по скоростям и температурам за скачком приводят к образованию релаксационной зоны, где происходит обмен массой, импульсом и теплом между каплями и эффективным газом.

Параметры составляющих смеси за скачком определяют граничные условия в некоторой точке  $x = x_f$ , соответствующей положению скачка уплотнения, и позволяют рассчитать структуру зоны релаксации в области  $x > x_f$ .

Теперь пусть  $a^e < v_{10} < a^f$ . Тогда УВ не имеет впереди себя скачка, т. е. параметры смеси в волне уплотнения меняются непрерывно от равновесного состояния перед волной до равновесного за ней [2, 5]. В этом случае для постановки граничных условий можно использовать решение линеаризованной системы уравнений движения смеси в окрестности начального состояния перед волной. Более подробно постановка граничных условий для расчета структур УВ в газокапельных смесях рассмотрена в [2, 3].

Выполним оценку характерных времен изменения скорости, температуры и массы капли за фронтом УВ. При больших числах Рейнольдса ( $Re_{12} \gg 1$ ), когда реализуются условия ньютона относительного обтекания капель газом, характерные времена релаксации скорости  $t_v^N$  и температуры  $t_T^N$  капли имеют вид [16]

$$t_v^N \cong \frac{2,6\rho_l^0 d}{\rho_{1g0}^0 v_{10}}, \quad t_T^N \cong \frac{\rho_l^0 d^2 c_l}{5,1\lambda_g (\text{Re}_{0s} M)^{0,5} \text{Pr}_1^{0,33}},$$

$$\text{Re}_{0s} = \rho_{1g0}^0 da_{g0}/\mu_g, \quad M = v_{10}/a_{g0}.$$

Здесь  $\text{Re}_{0s}$ ,  $M$  — характерные числа Рейнольдса и Маха. Оценки показывают, что  $t_T^N/t_v^N \gg 1$ , т. е. при  $Re_{12} \gg 1$  характерное время выравнивания температур газа и капли значительно превышает время выравнивания их скоростей.

В случае, когда капля движется в равновесной смеси газа с мелкими частицами, характерное время изменения массы капли (за счет инерционного захвата частиц)  $t_m^N \cong 0,2\rho_l^0 d/\eta\rho_{1p0} v_{10}$ . Из выражений для  $t_v^N$  и  $t_m^N$  следует соотношение  $t_m^N/t_v^N \cong 0,08\rho_{1g0}^0/\eta\rho_{1p0}$ . Видно, что при  $\rho_{1g0}^0 \sim \rho_{1p0}$  и  $\eta \sim 1$  между  $t_m^N$  и  $t_v^N$  выполняется условие  $t_m^N \ll t_v^N$ , т. е. характерное время увеличения массы капли за счет захвата ею мелких частиц намного меньше характерного времени релаксации скорости капли. Необходимо отметить, что выражение для  $t_m^N$  получено без учета влияния изменения скорости капли на процесс захвата ею частиц (т. е. оно получено при допущении постоянства скорости движения капли в эффективном газе), а выражение для  $t_v^N$  — для случая, когда в потоке газа отсутствуют мелкие частицы. В связи с этим оценка  $t_m^N$  и  $t_v^N$  имеет в основном методический характер.

Для анализа условий подобия структур УВ в смеси газа с мелкими частицами и крупными каплями рассмотрим три случая.

А. Смесь состоит из газа с каплями (без мелких частиц). При этом критериями подобия будут семь безразмерных параметров:  $\gamma_g$ ,  $M$ ,  $m_2 = \rho_{20}/\rho_{10}$ ,  $\alpha_{1g0}$ ,  $C = c_l/c_{gV}$ ,  $\text{Re}_{0s}$ ,  $\text{Pr}_1$ . Определяющее влияние на структуру волны в газовзвесях обычно оказывают эффекты межфазного трения, поэтому основными критериями приближенного подобия течений в зоне релаксации можно считать  $\gamma_g$ ,  $M$  и  $m_2$ .

Б. Смесь состоит из газа с мелкими частицами и крупными каплями, причем взаимодействие между частицами и каплями отсутствует ( $j = 0$ ). Тогда в число основных параметров приближенного подобия структур УВ войдет относительное массовое содержание мелких частиц перед волной  $m_{1p} = \rho_{1p0}/\rho_{1g0}$ .

В. В смеси газа с мелкими частицами и крупными каплями имеет место взаимодействие мелких частиц с каплями ( $j \neq 0$ ). В этом случае основными критериями приближенного подобия структур УВ будут безразмерные параметры  $\gamma_g$ ,  $M$ ,  $m_{1p}$ ,  $m_2$ ,  $\eta$ .

**5. Анализ результатов расчета.** Исследовалось влияние процесса осаждения мелких частиц на крупных каплях, а также основных определяющих параметров на характер дисперсионных зависимостей и структуру УВ. Рассматривалось распространение слабых возмущений в смесях воздуха с мелкими частицами древесного угля и крупными каплями воды при нормальных условиях ( $p_0 = 0,1$  МПа,  $T_{10} = 293$  К). Определяющие параметры (массовые содержания капель  $m_2 = \rho_{20}/\rho_{1g0}$  и мелких частиц  $m_{1p} = \rho_{1p0}/\rho_{1g0}$ , диаметр крупных капель  $d$ ) варьировались в диапазонах  $m_2 = 0,5 \div 2$ ,  $m_{1p} = 0 \div 2$ ,  $d = 10 \div 50$  мкм.

На рис. 1, 2 приведены кривые, отображающие характер зависимостей фазовой скорости  $U_p = v_p/a_g$  и коэффициента затухания  $\delta$  от безразмерной частоты внешнего возмущения  $\sigma = \omega T/a_g$ . Расчеты показали, что в широком диапазоне изменения диффузационной скорости частиц  $10^{-4} < \beta < 10$  м/с процесс осаждения мелких частиц на каплях практи-

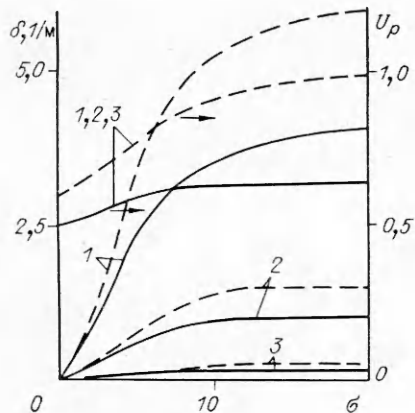


Рис. 1

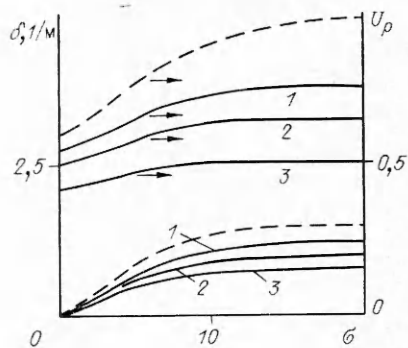


Рис. 2

чески не влияет на зависимости  $U_p$  и  $\delta$  от частоты  $\sigma$ . В связи с этим на рисунках одна и та же кривая соответствует как наличию осаждения мелких частиц на каплях, так и его отсутствию. Рис. 1 иллюстрирует влияние диаметра капель на зависимости коэффициента затухания и фазовой скорости от частоты внешнего возмущения при наличии ( $m_{1p} \neq 0$ ) и отсутствии ( $m_{1p} = 0$ ) мелких частиц в составе эффективного газа. Кривые 1—3 отвечают  $d = 10, 20$  и  $30$  мкм при одном и том же их массовом содержании ( $m_2 = 1$ ), штриховые и сплошные линии — массовым содержаниям мелких частиц  $m_{1p} = 0$  и  $m_{1p} = 1$ .

Видно, что изменение размера капель сильно влияет на коэффициент затухания возмущений. При этом уменьшение диаметра капель приводит к более быстрому затуханию звука. Наиболее существенным процессом, влияющим на дисперсионные зависимости, как правило, является трение между фазами. С уменьшением размера капель возрастает интенсивность межфазового трения, что приводит к увеличению вязкостной диссипации энергии возмущений. Интересно, что изменение диаметра капель практически не влияет на зависимость фазовой скорости  $U_p$  от безразмерной частоты возмущений  $\sigma$ .

Влияние массовых содержаний мелких частиц  $m_{1p}$  на коэффициент затухания и фазовую скорость возмущений показано на рис. 2. Кривые 1—3 соответствуют массовым содержаниям мелких частиц  $m_{1p} = 0,5; 1$  и  $2$ , штриховые линии — отсутствию мелких частиц в смеси ( $m_{1p} = 0$ ). Массовое содержание крупных капель и их диаметр фиксированы:  $m_2 = 1$ ,  $d = 20$  мкм. Видно, что увеличение массового содержания мелких частиц в смеси приводит к заметному уменьшению коэффициента затухания и фазовой скорости возмущений.

Отметим, что в рассматриваемом диапазоне изменения частоты внешнего возмущения ( $0 < \omega t_T \leq 20$ ) вклад нестационарных сил Бассэ, Архимеда и присоединенных масс в суммарную силу межфазного взаимодействия достаточно мал. Однако при очень больших частотах ( $\omega t_T \geq 10^2$ ) указанные межфазные силы из-за существенной нестационарности обтекания капли потоком газа сравнимы с квазистационарной силой межфазного трения Стокса (2.2) или даже превышают ее. При этом учет нестационарных эффектов межфазного взаимодействия в основном влияет на коэффициент затухания возмущений, а на фазовую скорость — достаточно слабо [9, 12].

Исследовалась также структура УВ в смеси воздуха с мелкими частицами графитовой пыли и крупными каплями воды. Считалось, что перед волной смесь находится в термодинамическом равновесии ( $v_{10} = v_{20}$ ,  $T_{10} = T_{20}$ ) при давлении  $0,1$  МПа. Уравнения движения газо-взвеси с замыкающими соотношениями (2.1)–(2.4) и соответствующими граничными условиями численно интегрировались модифицированным методом Эйлера. Точность вычислений контролировалась по выполнению

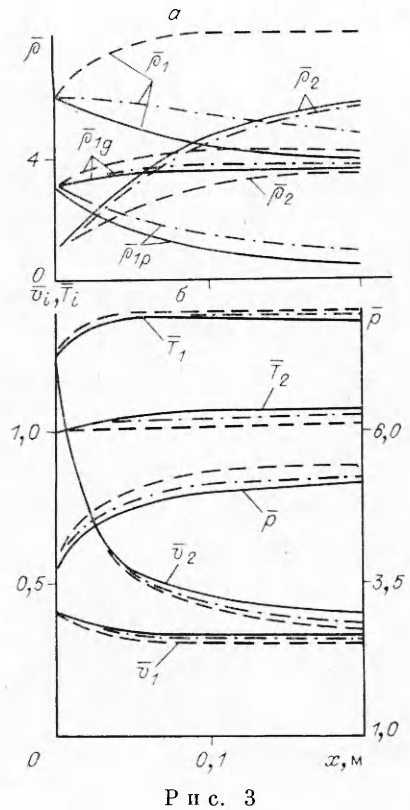


Рис. 3

первых интегралов массы, импульса и энергии. Расчеты проводились для волн с  $M = v_{10}/a_{g0} = 0,6 \div 1,2$ . Относительные массовые содержания мелких частиц и крупных капель варьировались от 0,5 до 2. Диаметр крупных капель изменялся в диапазоне от 50 до 200 мкм. Коэффициент эффективности захвата частиц каплями  $\eta$  считался постоянным и варьировался от 0 до 0,8 ( $\eta = 0$  отвечает отсутствию осаждения частиц на каплях).

Некоторые результаты расчетов, иллюстрирующие влияние процесса захвата частиц каплями на течение смеси в релаксационной зоне волны интенсивности  $M = 1,2$  при  $m_2 = 1$ ,  $m_{1p} = 1$  и  $d = 200$  мкм, представлены на рис. 3. Штриховые, штрихпунктирные и сплошные линии соответствуют  $\eta = 0; 0,5$  и  $0,8$ . Показано поведение плотностей эффективного газа  $\bar{\rho}_1 = \rho_1/\rho_{1g0}$ , его составляющих  $\bar{\rho}_{1g} = \rho_{1g}/\rho_{1g0}$ ,  $\bar{\rho}_{1p} = \rho_{1p}/\rho_{1g0}$  и капель  $\bar{\rho}_2 = \rho_2/\rho_{1g0}$ , а также их скоростей  $\bar{v}_i = v_i/a_{g0}$ , температур  $\bar{T}_i = T_i/T_{10}$  ( $i = 1, 2$ ) и давления газа  $\bar{p} = p/p_0$  в релаксационной зоне (дополнительный нижний индекс 0 отвечает условию перед волной).

Видно, что при наличии процесса захвата частиц каплями приведенная плотность мелких частиц  $\bar{\rho}_{1p}$  в релаксационной зоне уменьшается, в то время как при отсутствии осаждения частиц на каплях она увеличивается (рис. 3, a). На приведенную плотность частиц влияют два существенных фактора: торможение эффективного газа из-за градиента давления (приводящее к увеличению концентрации мелких частиц) и их осаждение на каплях. В зависимости от того, какой из этих факторов преобладает, приведенная плотность мелких частиц в зоне релаксации волны может как увеличиваться, так и уменьшаться.

#### ЛИТЕРАТУРА

1. Rudinger G. Some properties of shock relaxation zone in gas flows carrying small particles // Phys. Fluids.— 1964.— V. 7, N 5.
2. Нигматулин Р. И. Уравнения гидромеханики и волны уплотнения в двухскоростной и двухтемпературной сплошной среде при наличии фазовых превращений // Изв. АН СССР. МЖГ.— 1967.— № 5.
3. Аманбаев Т. Р., Ивандаев А. И. Структура ударных волн в двухфазных смесях газа с каплями жидкости // ПМТФ.— 1988.— № 2.
4. Федоров А. В., Фомин В. М. Структура ударной волны в смеси газа и плавящихся частиц // ПМТФ.— 1986.— № 2.
5. Ивандаев А. И., Кутушев А. Г., Нигматулин Р. И. Газовая динамика многофазных сред // Итоги науки и техники. Сер. МЖГ.— М.: ВИНИТИ, 1981.— Т. 16.
6. Meyer zur Capellen F. Ausbreitung von Wellen kleiner Amplitude in einem relaxierenden und strahlenden Gas-Teilchen-Gemisch // Acta mech.— 1981.— V. 36, N 1—2.
7. Ивандаев А. И., Нигматулин Р. И. Особенности распространения слабых возмущений в двухфазных средах с фазовыми переходами // ПМТФ.— 1970.— № 5.
8. Губайдуллин Д. А., Ивандаев А. И. Скорость и затухание звука в парогазокапельных системах. Роль тепломассообменных процессов // ПМТФ.— 1987.— № 3.
9. Гумеров Н. А., Ивандаев А. И. Особенности распространения высокочастотных акустических возмущений в паро- и газовзвесях // ПМТФ.— 1985.— № 6.
10. Temkin S., Dobbins R. A. Measurement of attenuation and dispersion of sound by an aerosol // J. Acoust. Soc. Amer.— 1966.— V. 40, N 5.
11. Scott D. S. A new approach to the acoustic conditioning of industrial aerosol emissions // J. Sound and Vibr.— 1975.— V. 43, N 4.

12. Нигматулин Р. И. Динамика многофазных сред.— М.: Наука, 1987.  
 13. Ranz W. E., Wong J. B. Impaction of dust and smoke particles // Industr. and Eng. Chem.— 1952.— N 6.  
 14. Гонор А. Л., Ривкинд В. Я. Динамика капли // Итоги науки и техники. Сер. МЖГ.— М.: ВИНИТИ, 1982.— Т. 17.  
 15. Райт П. Аэрозоли.— М.: Мир, 1987.  
 16. Ивандаев А. И. Об оценке характерных времен динамического и теплового взаимодействия фаз в задачах волновой динамики газовзвесей // ПМТФ.— 1982.— № 2.

г. Чимкент, г. Тюмень

Поступила 19/VII 1988 г.,  
в окончательном варианте — 3/IV 1990 г.

УДК 533.6.011

И. Г. Брыкина, В. В. Русаков, В. Г. Щербак

**АНАЛИТИЧЕСКОЕ И ЧИСЛЕННОЕ ИССЛЕДОВАНИЕ  
ПРОСТРАНСТВЕННОГО ВЯЗКОГО УДАРНОГО СЛОЯ  
НА ЗАТУПЛЕННЫХ ТЕЛАХ**

Среди задач гиперзвуковой аэродинамики в последнее время одними из наиболее важных являются пространственные задачи вязкого обтекания, связанные с разработкой аппаратов, движущихся в верхних слоях атмосферы. Применение к решению таких задач численных методов требует больших затрат машинного времени и оперативной памяти ЭВМ, поэтому весьма актуальна разработка приближенных методов, которые, обладая достаточной точностью, могут применяться в инженерной практике. Много приближенных методов разработано для больших чисел Рейнольдса  $Re$ . Они основаны на использовании теории пограничного слоя и требуют знания параметров невязкого течения на поверхности тела. В то же время пока не существует аналогичных методов, пригодных для решения трехмерных задач вязкого обтекания при малых и умеренных числах Рейнольдса ( $Re \leq 10^3$ ), когда вязкость существенна во всей области возмущенного течения и классическая теория пограничного слоя становится неприменимой.

В настоящей работе на основе приближенного решения уравнений трехмерного гиперзвукового вязкого ударного слоя получено аналитическое решение для определения тепловых потоков и напряжения трения на боковой поверхности затупленных тел при малых и умеренных  $Re$  с учетом эффектов скольжения и скачка температуры на поверхности. Для течений с умеренными и большими  $Re$  получена простая формула для распределения по поверхности теплового потока, отнесенного к его значению в точке торможения. Эта формула зависит только от геометрии обтекаемого тела. Данная работа — продолжение [1], где аналогичная задача решалась для окрестности плоскости симметрии.

1. Рассмотрим стационарное трехмерное обтекание гладких затупленных тел гиперзвуковым потоком вязкого газа при малых и умеренных  $Re$ . Течение исследуется в рамках модели тонкого вязкого ударного слоя, аналогичной двухслойной модели, предложенной в [2] для осесимметричного обтекания и обобщенной в [3] на случай пространственных течений.

Пусть поверхность обтекаемого тела задана в декартовой системе координат уравнением  $z = f(x, y)$ , вектор скорости набегающего потока  $\mathbf{v}_\infty$  совпадает по направлению с осью  $z$ , начало координат помещено в точку торможения потока, а оси  $x$  и  $y$  расположены в плоскостях главных кривизн поверхности в этой точке. Выберем систему криволинейных неортогональных координат  $\{x^i\}$ , связанную с обтекаемой поверхностью:  $x^3$  — расстояние по нормали к поверхности, а в качестве двух других, выбранных на поверхности, используются декартовы координаты точки пересечения этой нормали с поверхностью:  $x^1 = x$ ,  $x^2 = y$ ,  $z = f(x^1, x^2)$ .

Уравнения трехмерного тонкого вязкого ударного слоя в системе координат  $\{x^i\}$  имеют вид

$$(1.1) \quad \frac{\partial}{\partial x^i} \left( \rho u^\alpha \sqrt{\frac{g}{g_{(\alpha\alpha)}}} \right) + \frac{\partial}{\partial x^3} (\rho u^3 V^- g) = 0,$$

$$\rho \left( \frac{x^\alpha}{\sqrt{g_{(\alpha\alpha)}}} \frac{\partial u^\gamma}{\partial x^\alpha} + u^3 \frac{\partial u^\gamma}{\partial x^3} \right) + \rho A_{\alpha\beta}^\gamma u^\alpha u^\beta = - \sqrt{g_{(\gamma\gamma)} g^{\beta\gamma}} \frac{\partial p}{\partial x^\beta} + \frac{\partial}{\partial x^3} \left( \frac{\mu}{Re} \frac{\partial u^\gamma}{\partial x^3} \right),$$